

(56)

## 溶鋼の再酸化の機構と速度

川崎製鉄技術研究所・理博 江見俊彦

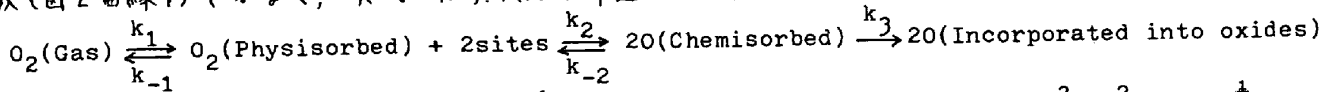
Univ. of Michigan Prof. R.D.Pehlke

1. 序： キルド鋼塊に見られる  $100\mu m^3$  以上の大型介在物やアルミニウラスターの部分は、耐火物の侵食溶損と再酸化に起因する外來性のものであることを前報<sup>1)</sup>に示した。両者の寄与率は、溶鋼組成、注入方法、耐火物性状で変わり、Mn 1%以上の溶鋼を遊離  $SiO_2$  の多い耐火物用いて下注ぎするヒ耐火物の侵食溶損、低 C 高 Al 溶鋼を大気中で上注ぎすると再酸化、が外來介在物の主な起源となる。上注ぎ時には注流表面が平滑なら、鋳型内注流落下時に生ずる懸濁気泡が再酸化の主役である<sup>2)</sup>が、密閉気・溶鋼の組成によって再酸化の律速段が変化することも容易に想像できる。本報では、平界面における溶鋼(Fe, Fe-Si, -Al) のガス ( $O_2$ ,  $O_2-H_2$ ,  $-N_2$ ,  $-Ar$ ) による酸化速度を求め、律速段を決めた。

2. 方法と結果： Hot-volume 約  $80 cm^3$  のシーバーツ型定容反応器中に約  $100 g$  の試料を真空溶解し、上記ガス約  $400 cm^3$  を電磁弁と介して瞬時に導入し、 $O_2$  消費量を差圧計で連続記録した。

(1) 溶鉄の  $O_2$  による酸化； 溶面は直ちに酸化膜で覆われ、 $O_2$  消費速度  $dV_s/dt$  は溶面上の  $O_2$  压  $P_{O_2}^b$  の  $\frac{1}{2}$  来に比例し、溶の  $O$  によらない(図 1)。

$dV_s/dt$  を律すのは溶中への膜の溶解速度(図 2 曲線 2)ではなく膜の成長速度である。膜の成長は、溶/膜 オリ膜/ガス 界面への膜中の Fe の拡散(図 2 曲線 1)ではなく、次式の化学反応で律速される。



$$dV_s/dt = K_1(P_{O_2}^b)^{\frac{1}{2}} = Nk_3(k_1k_2)^{\frac{1}{2}}(P_{O_2}^b)^{\frac{1}{2}}, N: \text{number of sites}, K_1 = 1.8 \text{cm}^3/\text{cm}^2 \text{sec} \cdot \text{atm}^{\frac{1}{2}}$$

(2) 含 Al, Si 溶鉄の  $O_2$  による酸化；

含 Al 溶鉄で Si 4% 近くは溶融純鉄と同様化学反応律速である。4%以上では緻密な  $Al_2O_3$  膜が溶面上に生じ、膜中の拡散が律速となり酸化は事实上停止する。含 Si 溶鉄では  $FeO-SiO_2$  膜が生じ、Si 0%  $0.5 \rightarrow 4\%$  と増すと膜中の  $SiO_2$  % が増し  $K_1$  は直線的に下るが、4%以上では膜は  $SiO_2$  に近く一定の低い  $K_1$  を示す。膜中拡散律速である(図 3)。

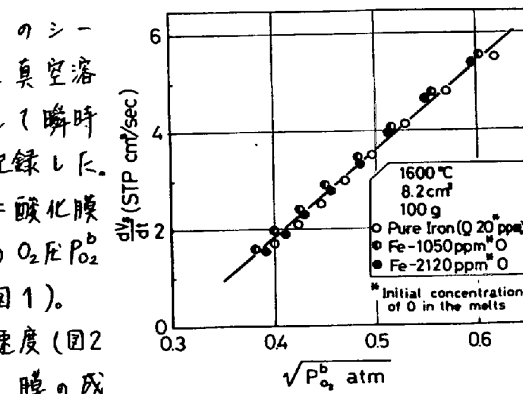
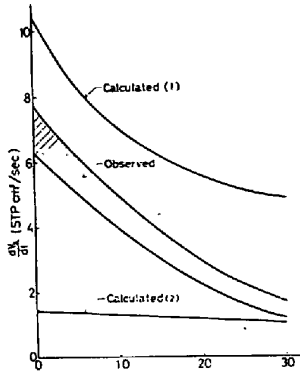
図 1. 溶鉄の  $O_2$  による酸化

図 2. 酸化速度の時間変化

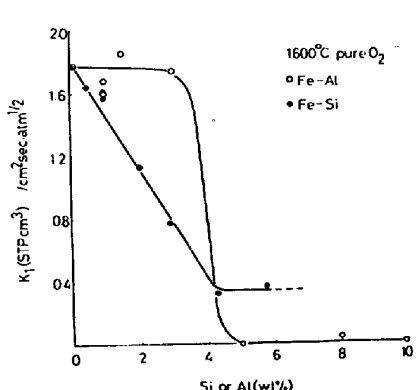
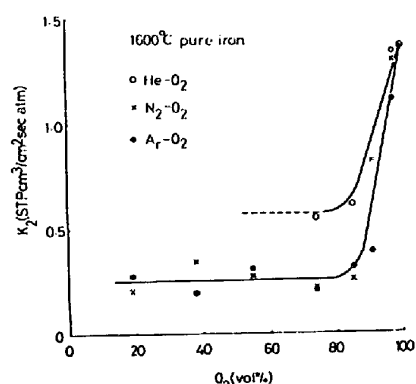
図 3. 含 Al, Si 溶鉄の  $O_2$  による酸化。

図 4. 溶鉄の混合ガスによる酸化。

(3) 溶鉄の混合ガスによる酸化；  $O_2-(He, N_2, Ar)$  混合ガス中の不活性ガス成分が 15%以上( $O_2 \leq 85\%$ )では、ガス側膜中の  $O_2$  拡散が酸化を律速し、速度式は次式で表わされ、 $K_2$  実測値は計算値と一致する。

$$dV_s/dt = K_2 P_{O_2}^b = A(D_{O_2}/8)P_{O_2}^b, A: \text{界面積}, D_{O_2}: \text{ガス膜中の } O_2 \text{ の拡散係数}$$

以上の実測値から、(溶鋼組成)-(ガス組成)座標上に律速段を国示した(省略)。両者の組成がわかれば律速段と速度定数が求められる。

1) 佐生 江見, 北岡, 三木, 飯田: 鉄と鋼, 59 (1973) A97.  
2) J. Szekey: TMS-AIME, 245 (1969) 341.